

F 789 – Mecânica Quântica II

1^o Semestre de 2023

12/06/2023

Aula 25

Aula passada

Interação de um átomo com ondas eletromagnéticas

O Hamiltoniano:
$$H = \frac{[\mathbf{P} - q\mathbf{A}(\mathbf{R}, t)]^2}{2m} + V(R) - \frac{q}{m}\mathbf{S} \cdot \mathbf{B}(\mathbf{R}, t)$$

A onda eletromagnética:

$$\begin{aligned}\mathbf{E}(\mathbf{R}, t) &= E_0 \cos(kY - \omega t) \hat{\mathbf{z}} \\ \mathbf{B}(\mathbf{R}, t) &= \frac{E_0}{c} \cos(kY - \omega t) \hat{\mathbf{x}} \\ \mathbf{A}(\mathbf{R}, t) &= \frac{E_0}{\omega} \sin(kY - \omega t) \hat{\mathbf{z}} \\ \omega &= ck \\ \bar{\mathbf{S}} &= \frac{\epsilon_0 c}{2} E_0^2 \hat{\mathbf{y}}\end{aligned}$$

Em ordem linear nos campos: $H = H_0 + W_I(t) + W_{II}(t)$

$$\begin{aligned}H_0 &= \frac{\mathbf{P}^2}{2m} + V(R) \\ W_I(t) &= -\frac{q}{m}\mathbf{P} \cdot \mathbf{A}(\mathbf{R}, t) \\ W_{II}(t) &= -\frac{q}{m}\mathbf{S} \cdot \mathbf{B}(\mathbf{R}, t)\end{aligned}$$

Aula passada

Termo dominante: Perturbação de **dipolo elétrico**

$$W_I(t) \approx \frac{qE_0}{m\omega} P_z \sin \omega t \equiv W_{DE}(t)$$

$$\frac{a_0}{\lambda} \ll 1 \\ \sim 10^{-3} - 10^{-1}$$

Taxa de transição entre estados $|\phi_i\rangle$ e $|\phi_f\rangle$ para radiação não monocromática de intensidade $I(\omega)$:

$$w_{if}^{DE} = \frac{dP_{if}^{DE}(t)}{dt} = \frac{\pi q^2}{\epsilon_0 c \hbar^2} |\langle \varphi_f | Z | \varphi_i \rangle|^2 I(|\omega_{fi}|) = \frac{\pi}{\epsilon_0 c \hbar^2} |\langle \varphi_f | p_z | \varphi_i \rangle|^2 I(|\omega_{fi}|), \quad p_z = qZ$$

Para outras polarizações lineares:

$$w_{if}^{DE} = \frac{\pi}{\epsilon_0 c \hbar^2} |\langle \varphi_f | p_x | \varphi_i \rangle|^2 I(|\omega_{fi}|)$$

$$w_{if}^{DE} = \frac{\pi}{\epsilon_0 c \hbar^2} |\langle \varphi_f | p_y | \varphi_i \rangle|^2 I(|\omega_{fi}|)$$

Os termos de dipolo magnético e quadrupolo elétrico

$$\begin{aligned}
 W_I(t) &= -\frac{qE_0}{m\omega} P_z \sin(kY - \omega t) = \frac{iqE_0}{2m\omega} P_z \left[e^{ikY} e^{-i\omega t} - e^{-ikY} e^{i\omega t} \right] \\
 &= \frac{iqE_0}{2m\omega} P_z \left\{ [1 + ikY + \mathcal{O}(k^2 Y^2)] e^{-i\omega t} - [1 - ikY + \mathcal{O}(k^2 Y^2)] e^{i\omega t} \right\} \\
 &= \frac{iqE_0}{2m\omega} P_z \left\{ e^{-i\omega t} - e^{i\omega t} \right\} - \frac{qE_0}{2m\omega} k P_z Y (e^{-i\omega t} + e^{i\omega t}) + \mathcal{O}(k^2 Y^2) \\
 &= \underbrace{\frac{qE_0}{m\omega} P_z \sin \omega t}_{W_{DE}(t)} - \underbrace{\frac{qE_0}{m\omega} k P_z Y \cos \omega t}_{\sim \frac{a_0}{\lambda}} + \mathcal{O}(k^2 Y^2)
 \end{aligned}$$

$$W_{II}(t) = -\frac{q}{m} \mathbf{S} \cdot \mathbf{B}(\mathbf{R}, t) \sim \frac{a_0}{\lambda}$$

ATE ORDER $\frac{a_0}{\lambda}$:

$$\begin{aligned}
 W^{(\Delta)}(t) &= -\frac{qE_0}{m\omega} k P_z Y \cos \omega t - \frac{q}{m} \frac{E_0}{c} S_x \cos(kY - \omega t) \\
 &= -\frac{q}{m} \frac{E_0}{c} P_z Y \cos \omega t - \frac{q}{m} \frac{E_0}{c} S_x \cos(\omega t)
 \end{aligned}$$

$$P_z Y = \frac{1}{2} \underbrace{(P_z Y - z P_y)}_{L_x} + \frac{1}{2} (P_z Y + z P_y)$$

$$\vec{L} = \vec{R} \times \vec{P}$$

$$L_x = Y P_z - z P_y \\ = P_z Y - z P_y$$

$$W^{(1)0M}(t) = - \frac{q}{m} \frac{E_0}{c} \left[\frac{L_x}{2} + S_x \right] \cos \omega t$$

$\underbrace{\quad}_{\vec{B}_0}$

$$= - \frac{q}{2m} B_0 [L_x + 2S_x] \cos \omega t$$

$$= - \vec{M} \cdot \vec{B}_0 \cos \omega t$$

$$\vec{\mu} = \frac{q}{2m} (\vec{L} + 2\vec{S})$$

$$\vec{M} = \frac{\mu_B}{\hbar} (\vec{L} + 2\vec{S})$$

↳ DIPLO MAGNÉTICO

OUTRAS POLARIZAÇÕES E DIREÇÕES DE INCIDÊNCIA GERAM TERMOS DO TIPO:

$$L_y + 2S_y, \quad L_z + 2S_z$$

QUANTO A $\frac{1}{2} (P_z \gamma + z P_y)$, FAZENDO, COMO ANTES:

$[z, H_0]$ e $[\gamma, H_0]$ LEVA A (VER NOTAS):

$$\langle \psi_f | \frac{1}{2} (P_z \gamma + z P_y) | \psi_i \rangle = \frac{m}{2i\hbar} (E_i - E_f) \langle \psi_f | \gamma z | \psi_i \rangle$$

ASSIM: $q \gamma z \equiv Q_{yz}$

COMPONENTE DO OPERADOR QUADRUPOLO ELÉTRICO

SEMELHANTEMENTE, OUTRAS POLARIZAÇÕES E DIREÇÕES DE INCIDÊNCIA GERAM OUTRAS

COMPONENTES Q_{ij} DO TENSOR DE QUADRU-

POLO ELÉTRICO

REGRAS DE SELEÇÃO:

DIPLO ELETRICO: $\Delta Q = \pm 1$, $\Delta m_l = 0, \pm 1$
 $\Delta m_s = 0$

DIPLO MAGNETICO: $\Delta Q = 0$ $\Delta m_l = 0, \pm 1$
 $\Delta m_s = 0, \pm 1$

QUADRUPOLO ELETRICO:

$\Delta Q = 0, \pm 2$ $\Delta m_l = 0, \pm 1, \pm 2$ $\Delta m_s = 0$

Resumo

Dipolo elétrico: $w_{if}^{DE} = \frac{\pi}{\epsilon_0 c \hbar^2} |\langle \varphi_f | p_{i=x,y,z} | \varphi_i \rangle|^2 I(|\omega_{fi}|)$

Dipolo magnético: $w_{if}^{DM} = \frac{\pi}{\epsilon_0 c^3 \hbar^2} |\langle \varphi_f | M_{i=x,y,z} | \varphi_i \rangle|^2 I(|\omega_{fi}|)$

Quadrupolo elétrico:

$$w_{if}^{QE} = \frac{\pi |\omega_{fi}|^2}{4\epsilon_0 c^3 \hbar^2} |\langle \varphi_f | Q_{i,j} | \varphi_i \rangle|^2 I(|\omega_{fi}|); \quad i = x, y, z; j = x, y, z$$

Taxa de emissão espontânea

$$w_{if}^{DE} = \frac{\pi}{\epsilon_0 c \hbar^2} |\langle \varphi_f | p_{i=x,y,z} | \varphi_i \rangle|^2 I(|\omega_{fi}|)$$

UMA SUGESTÃO DE COMO OBTER A TAXA DE EMISSÃO ESPONTÂNEA, QUE, NA VERDADE, REQUER A QUANTIZAÇÃO DOS CAMPOS ELETROMAGNÉTICOS, É A SEGUINTE

(i) FAÇA $|\langle \varphi_f | p_x | \varphi_i \rangle|^2 \rightarrow \frac{1}{3} (|\langle \varphi_f | p_x | \varphi_i \rangle|^2 + |\langle \varphi_f | p_y | \varphi_i \rangle|^2 + |\langle \varphi_f | p_z | \varphi_i \rangle|^2)$

(ii) DO ELETROMAGNETISMO: $\frac{I(\omega)}{c} = S(\omega)$

$S(\omega)$: DENSIDADE DE ENERGIA ELETROMAGNÉTICA

E USO $\rho(\omega)$ COMO A DENSIDADE DE ENERGIA
ELETROMAGNÉTICA DO VÁCUO:

$$\rho_{EM}^{(0)}(\omega) = \frac{\hbar \omega^3}{\pi c^3}$$

⇒ TAXA DE EMISSÃO ESPONTÂNEA DE
UM ESTADO EXCITADO PARA O FUNDAMENTAL

Resumo

Taxas de emissão espontânea de um estado n por dipolo elétrico (DE) e dipolo magnético (DM):

$$w_{\text{esp}(n \rightarrow 1)}^{DE} = \frac{\omega_{n \rightarrow 1}^3}{3\pi\epsilon_0\hbar c^3} \left[|\langle \varphi_n | p_x | \varphi_1 \rangle|^2 + |\langle \varphi_n | p_y | \varphi_1 \rangle|^2 + |\langle \varphi_n | p_z | \varphi_1 \rangle|^2 \right]$$
$$w_{\text{esp}(n \rightarrow 1)}^{DM} = \frac{\omega_{n \rightarrow 1}^3}{3\pi\epsilon_0\hbar c^5} \left[|\langle \varphi_n | M_x | \varphi_1 \rangle|^2 + |\langle \varphi_n | M_y | \varphi_1 \rangle|^2 + |\langle \varphi_n | M_z | \varphi_1 \rangle|^2 \right]$$

$\omega_{n \rightarrow 1} = \frac{E_n - E_1}{\hbar}$

$$[w] = \frac{1}{T}$$

$$\frac{1}{w} = \tau = \text{MEIA-VIDA DO ESTADO EXCITADO}$$

Partículas idênticas

Partículas idênticas: o que são?

AS PARTÍCULAS ELEMENTARES SÃO CARACTERIZADAS POR: MASSA, CARGA, SPIN

DADAS ESSAS CARACTERÍSTICAS, NADA DISTINGUE AS PARTÍCULAS: TODOS OS ELÉTRONS SÃO IDÊNTICOS

Partículas idênticas em mecânica clássica

EM FÍSICA CLÁSSICA, O FATO DAS PARTÍCULAS SEREM IDÊNTICAS NÃO TEM NENHUMA CONSEQUÊNCIA MENSURÁVEL.

$$L[x_1, \dot{x}_1, x_2, \dot{x}_2] = \frac{1}{2} m \dot{x}_1^2 + \frac{1}{2} m \dot{x}_2^2 + \frac{1}{2} k x_1^2 + \frac{1}{2} k x_2^2 + \frac{e^2}{|x_1 - x_2|} = L[x_2, \dot{x}_2, x_1, \dot{x}_1]$$

EQS. DE MOVIMENTOS

$$m \ddot{x}_1 = -k x_1 - \frac{\partial}{\partial x_1} \left[\frac{e^2}{|x_1 - x_2|} \right]$$

$$m \ddot{x}_2 = -k x_2 - \frac{\partial}{\partial x_2} \left[\frac{e^2}{|x_1 - x_2|} \right]$$

SUPONHA DUAS SOLUÇÕES

$$x_1(t) = x(t)$$

$$x_2(t) = x'(t)$$

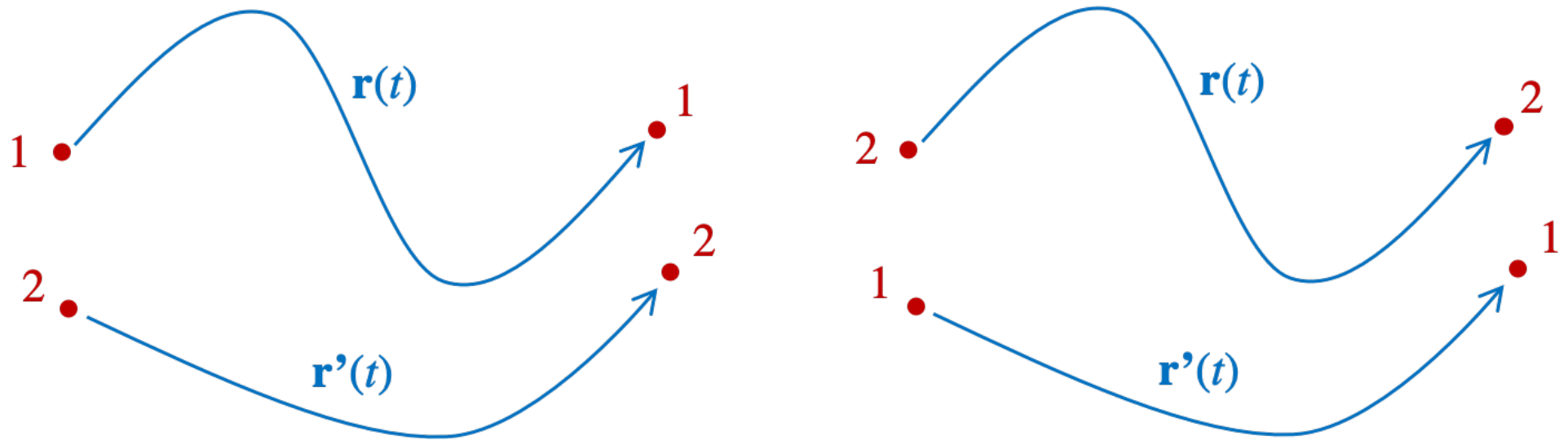
MAS :

$$x_1(t) = x'(t)$$
$$x_2(t) = x(t)$$

TAMBÉM É SOLUÇÃO!

ALÉM DISSO, COMO AS TRAJETÓRIAS CLÁSSICAS
SÃO BEM DEFINIDAS (EM PRINCÍPIO), UMA
ROTULAGEM INICIAL DAS PARTÍCULAS PER-
MANECE BEM DEFINIDA PARA SEMPRE.

Apenas os rótulos distinguem as duas soluções das eqs. de movimento



QUALQUER QUANTIDADE FÍSICA (ENERGIA, MOM. LINEAR, MOM. ANGULAR) DO MOVIMENTO DA ESQUERDA SERÁ IGUAL NO DA DIREITA.

Partículas idênticas em mecânica quântica

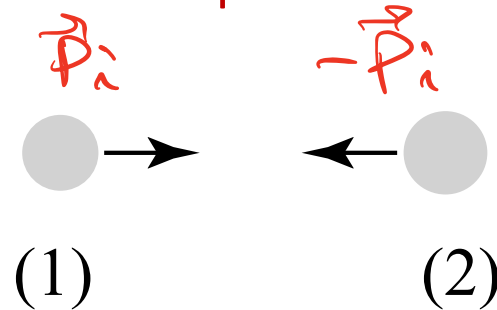
NENHUMA DAS 2 CARACTERÍSTICAS CLÁSSICAS DESCRITAS SOBREVIVE NA MEC. QUANT.

(i) AUSÊNCIA DE TRAJETÓRIAS BEM DEFINIDAS

(ii) DEGENERESCÊNCIA DE TROCA.

Espalhamento no ref. do centro de massa

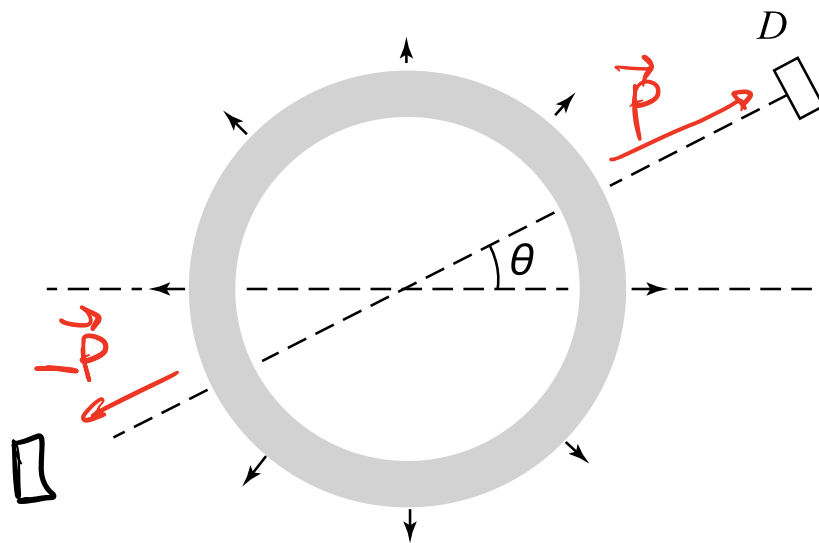
Antes do espalhamento: pacotes localizados bem separados movendo-se um na direção do outro; **partículas podem ser rotuladas**



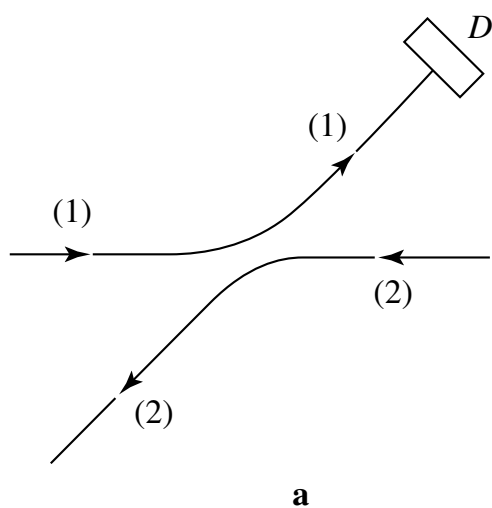
Durante a colisão: as funções de onda ocupam uma mesma região espacial; rótulos **não podem mais ser usados sem ambiguidade**



Após a colisão, os pacotes se expandem como **ondas esféricas superpostas**:
detecção em θ



Qual foi a trajetória de cada partícula?



DUAS POSSIBILIDADES
CLÁSSICAS
COMPATÍVEIS
COM A
DINÂMICA
QUÂNTICA

Diagram b shows a particle trajectory starting from the left, labeled (1). It curves downwards and then continues straight to a detector labeled D. A second trajectory, labeled (2), starts from the left, curves upwards, and then continues straight to the left. The label 'b' is centered below the diagram.

SUPONHA QUE, APÓS A COLISÃO, O ESTADO É $|\psi\rangle$

PROBABILIDADE DE MEDIR UMA PARTÍCULA

EM D:

$$dP(\vec{p}) = |\langle \psi_f(\vec{p}) | \psi \rangle|^2 d^3p$$

$$|\psi_f(\vec{p})\rangle = |1, \vec{p}; 2, -\vec{p}\rangle$$

$$\langle \vec{\lambda}_1, \vec{\lambda}_2 | \psi_f(\vec{p}) \rangle = \frac{e^{i\vec{p} \cdot \vec{\lambda}_1}}{(2\pi\hbar)^{3/2}} \frac{e^{-i\vec{p} \cdot \vec{\lambda}_2}}{(2\pi\hbar)^{3/2}}$$

$$|\psi_f'(\vec{p})\rangle = |1, -\vec{p}; 2, \vec{p}\rangle$$

$$\langle \vec{\lambda}_1, \vec{\lambda}_2 | \psi_f'(\vec{p}) \rangle = \frac{e^{i\vec{p} \cdot \vec{\lambda}_1}}{(2\pi\hbar)^{3/2}} \frac{e^{-i\vec{p} \cdot \vec{\lambda}_2}}{(2\pi\hbar)^{3/2}}$$

$$|S=0, M=0\rangle = \frac{1}{\sqrt{2}} (|p \downarrow \rangle - |p \uparrow \rangle)$$

É ENTANHADO

$|p \uparrow \rangle$ NÃO É

↳ $|p \rangle \otimes |p \rangle$

PIOR AINDA, EU POSSO USAR:

$$|\psi_f''(\vec{p})\rangle = \alpha |\psi_f(\vec{p})\rangle + \beta |\psi_f'(\vec{p})\rangle$$

PARA CADA ESCOLHA, O RESULTADO É
DIFERENTE!! ELE DEPENDE DE α E β